

6/7/2019

空域編成に対する 2つの最適化アプローチ



筑波大学

猿渡康文



神奈川大学

伊豆永洋一



防衛大学校

鵜飼孝盛



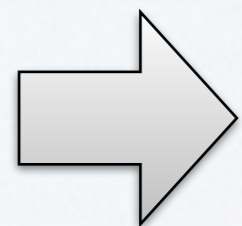
航空交通管理領域

蔭山康太

- 背景と目的
- 解法のフレームワーク
 - 管制作業量最小化
 - 管制作業量平準化
 - 可視化
- テストデータへの適用

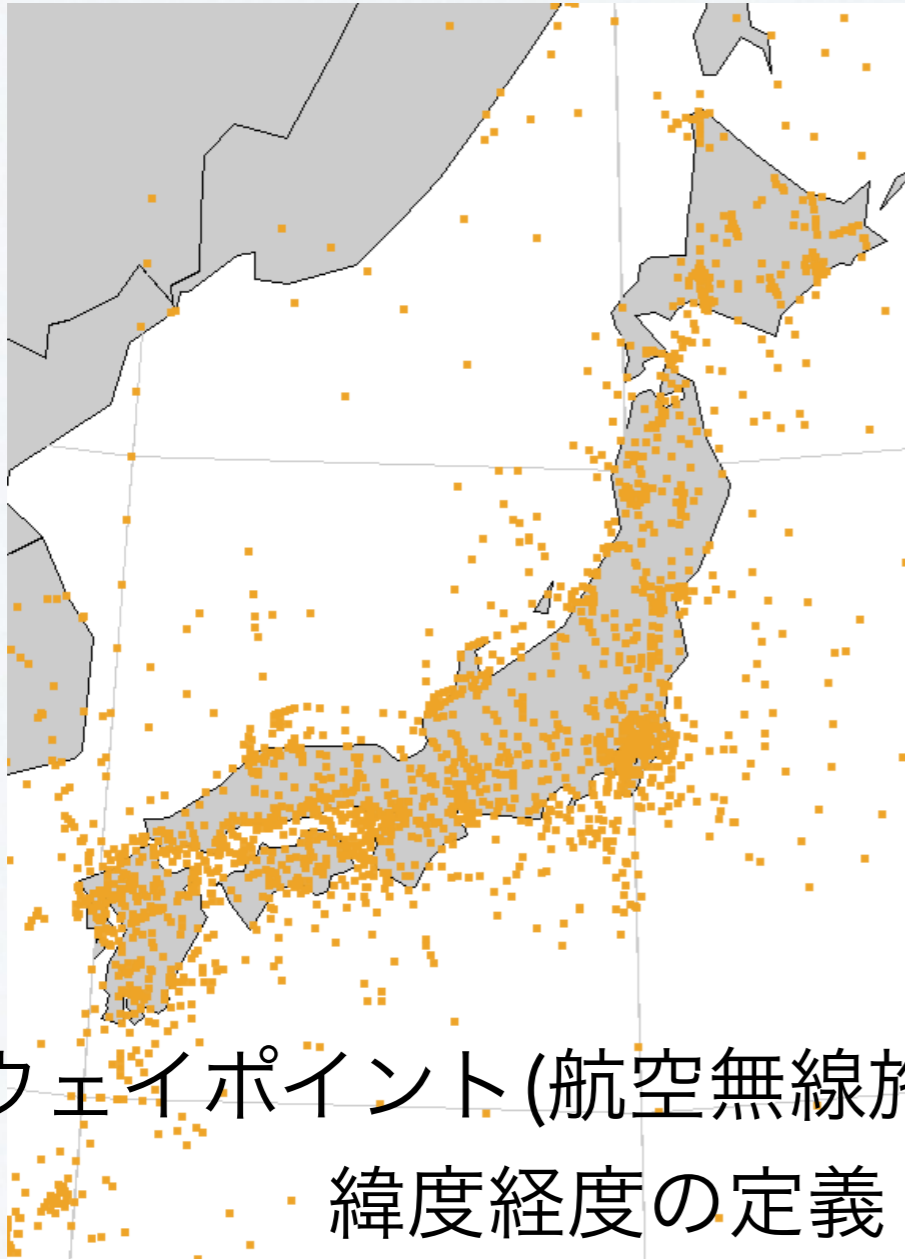
我が国の航空交通

- 航空管制の年間取り扱い数
 - 1998年（197万）→2017年（310万）：1.6倍以上
 - 国際線/上空通過を中心とした需要の継続の予測
- 効率性/環境への意識の向上
 - 燃料効率の高い飛行の実現の要求



航空交通システムの性能向上の必要

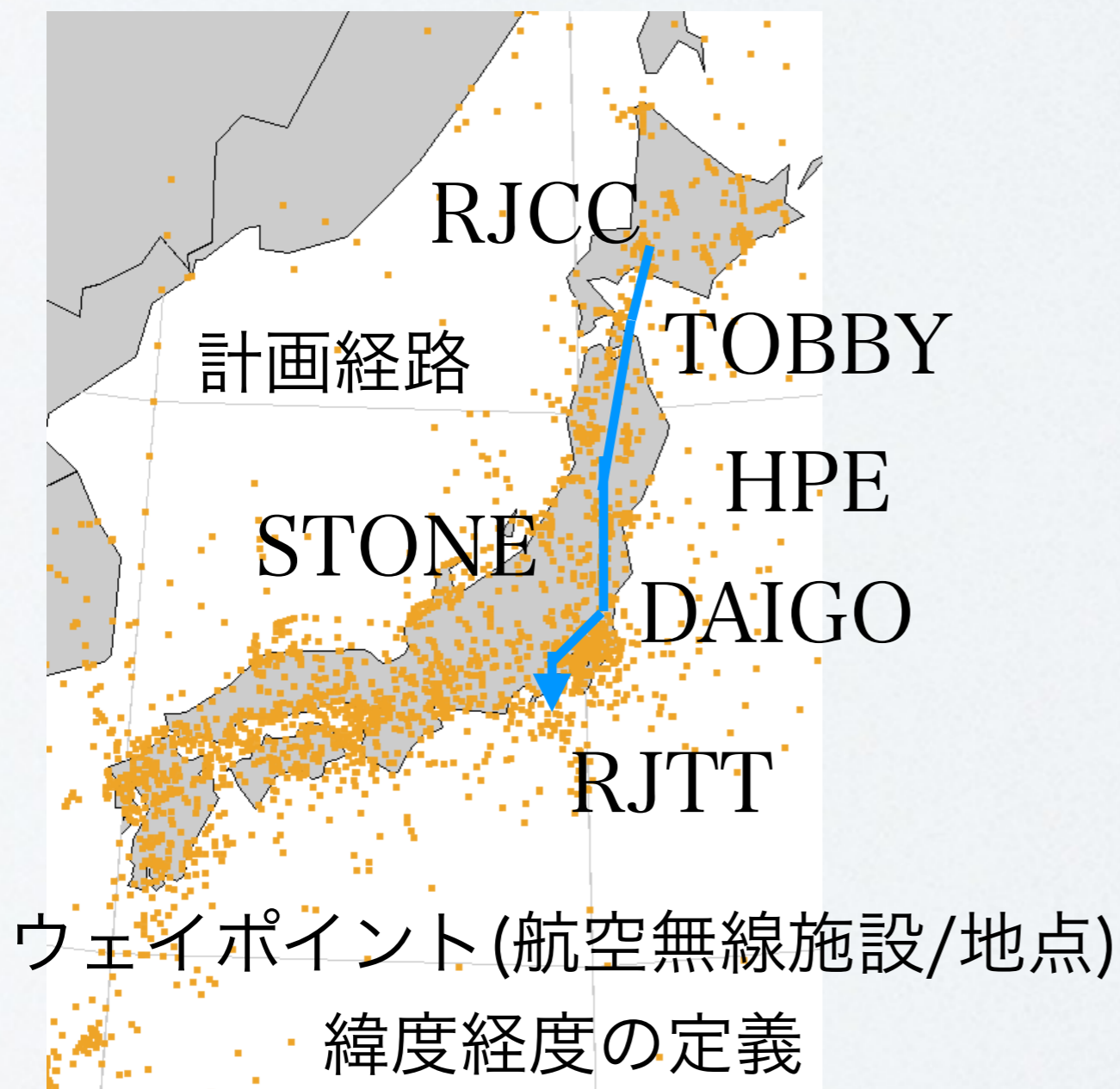
計画経路



ウェイポイント(航空無線施設/地点)

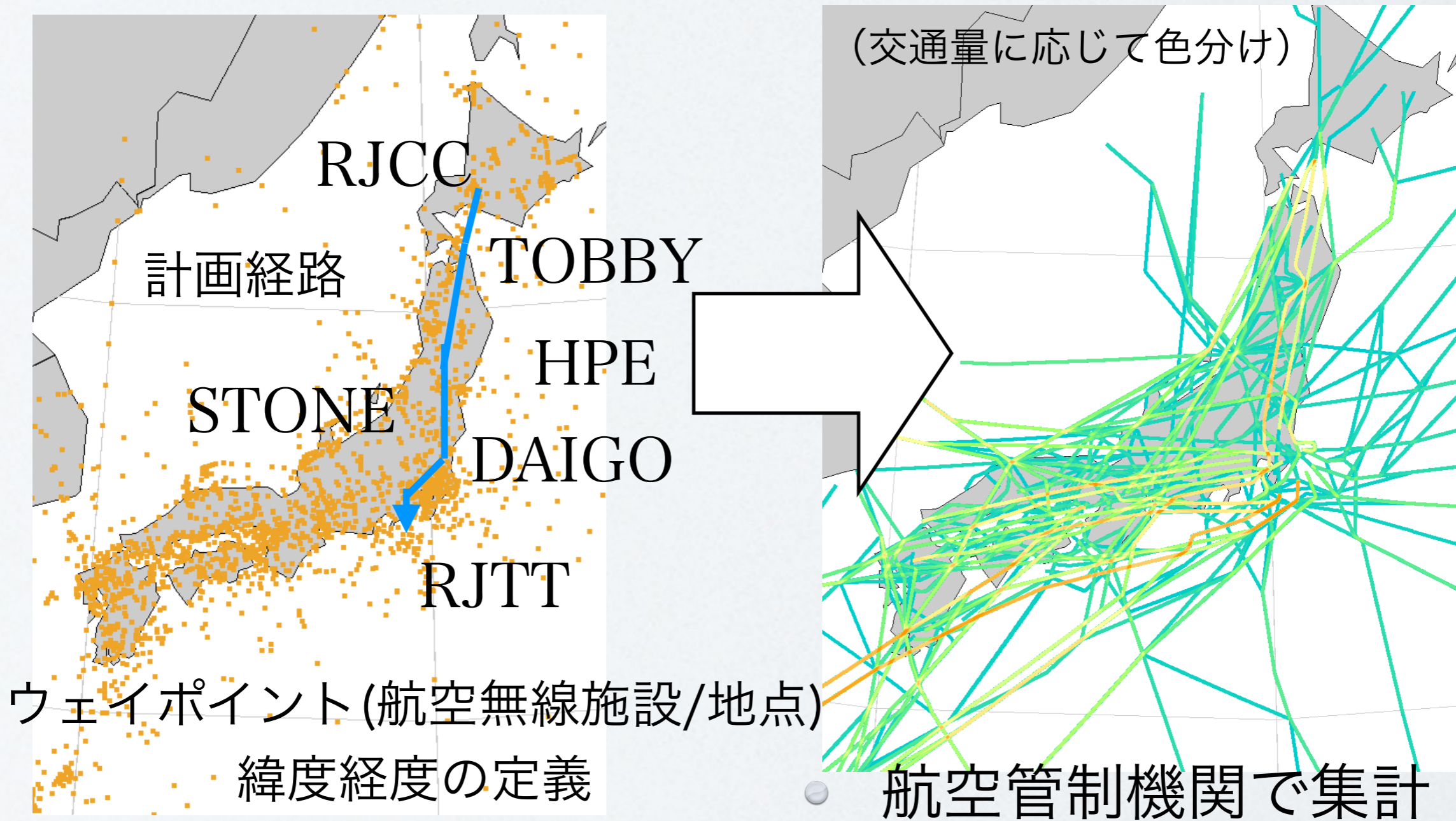
緯度経度の定義

計画経路



- 運航者が飛行前に経路を計画
 - ウェイポイント (WP) の列

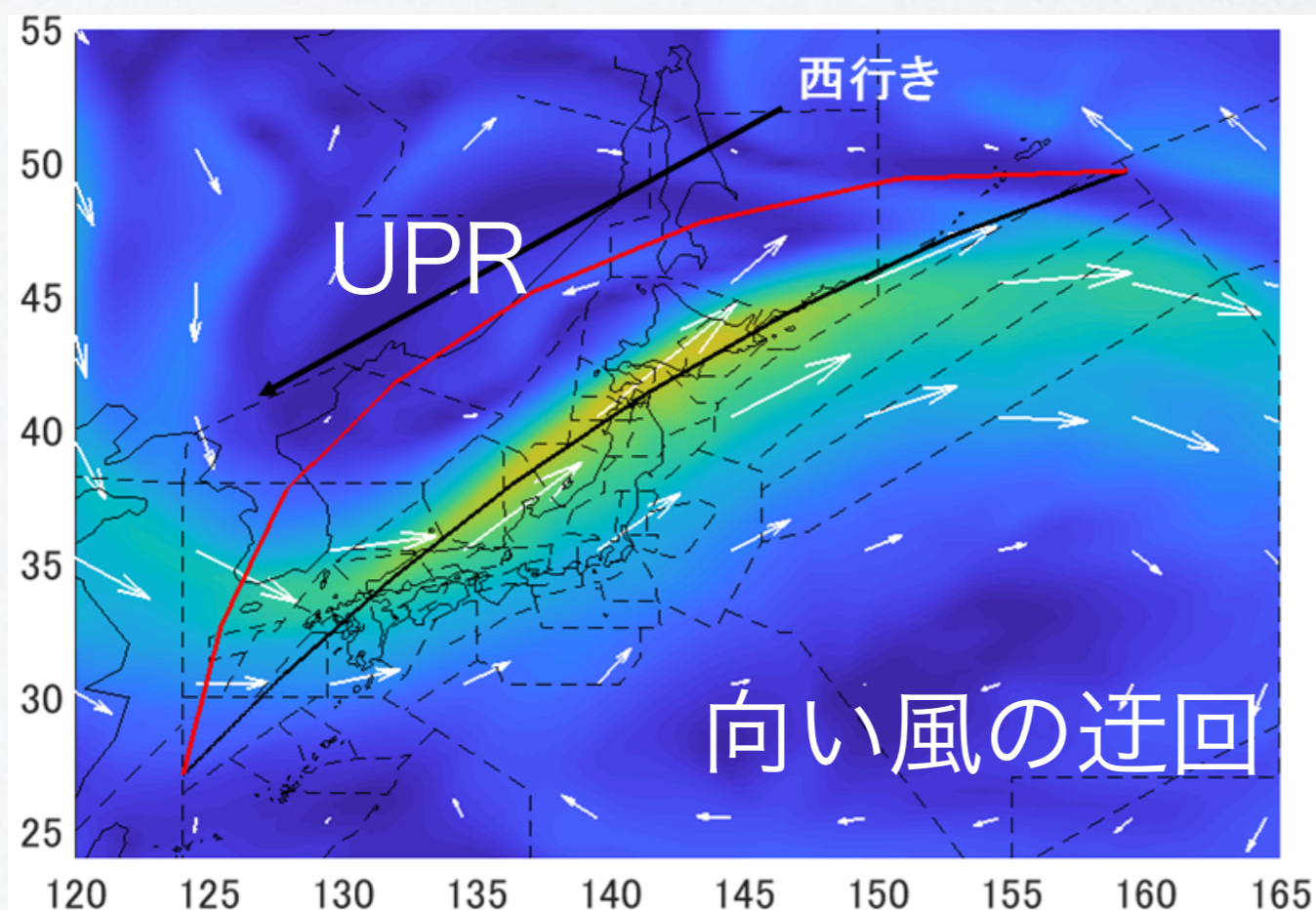
計画経路



- 運航者が飛行前に経路を計画
 - ウェイポイント (WP) の列
- 空域全体の飛行の流れ

利用者選択経路

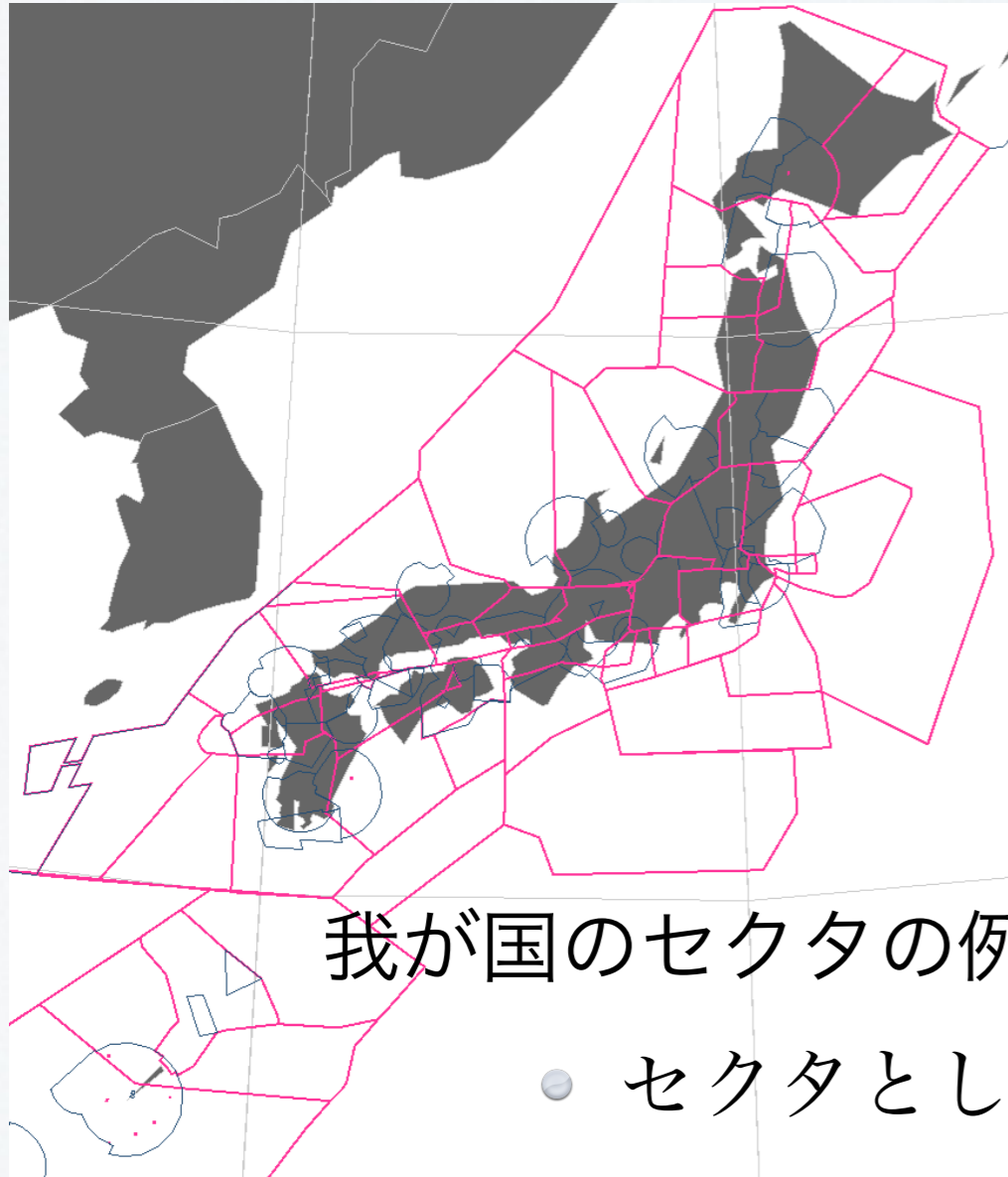
- User Preferred Route : UPR
- 運航者が燃料消費などを加味して計画した経路
 - 風向・風速に応じた様々な経路構成



- 太平洋上で運用
- 陸域への拡大計画

セクタ (空域の単位)

- セクタ = 航空管制官の配置単位
 - 飛行の監視、指示、情報交換 (管制作業)



我が国のセクタの例



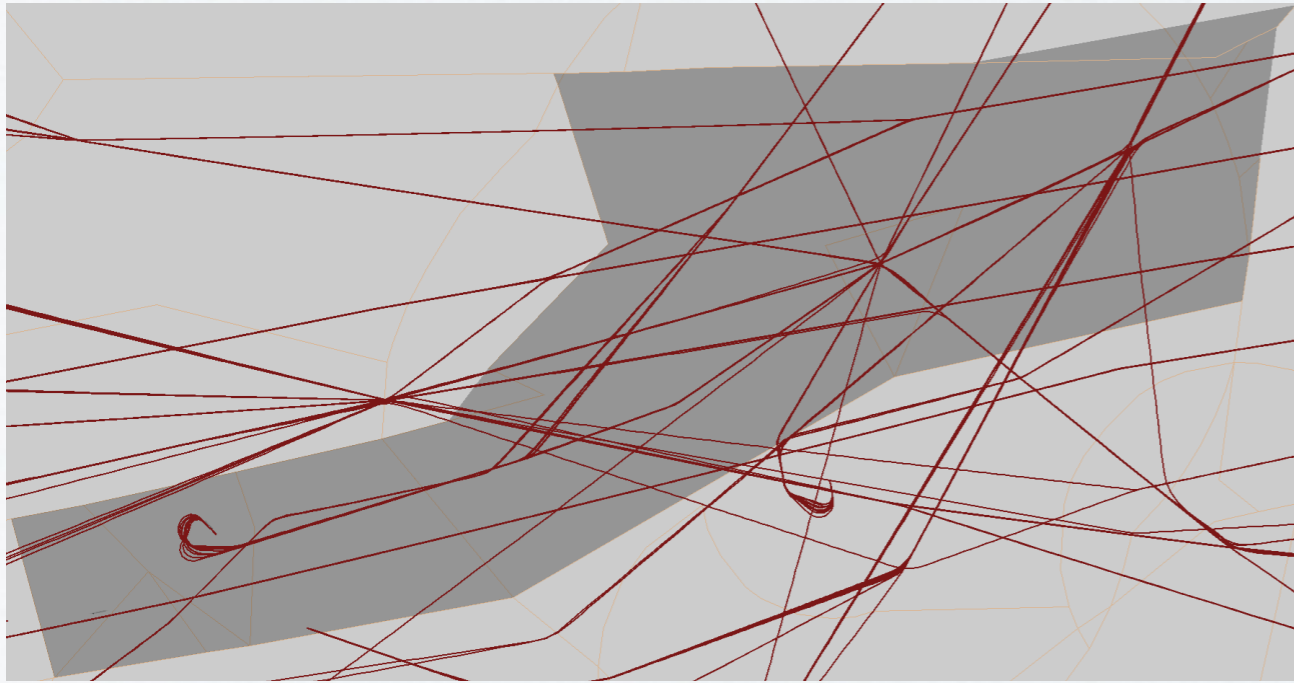
航空管制官

セクタごとに配置

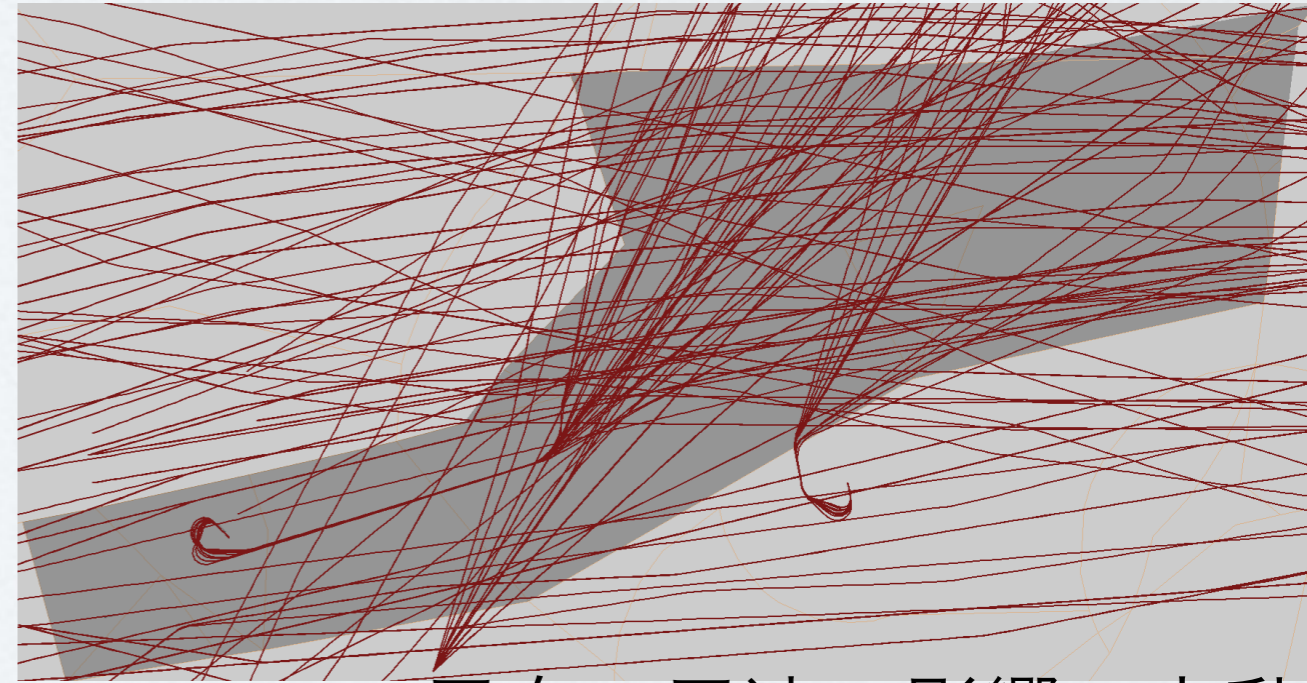
- セクタとしての条件 (主要なもの)
 - セクタ最小滞在時間 (管制指示時間の確保)
 - 境界線-WP間最小距離 (管制指示時間の確保)
 - 凸性 (同一航空機の複数回進入の回避)
 - 連結性 (飛び地の回避)

効率的運航支援の重要性

現行の推奨経路



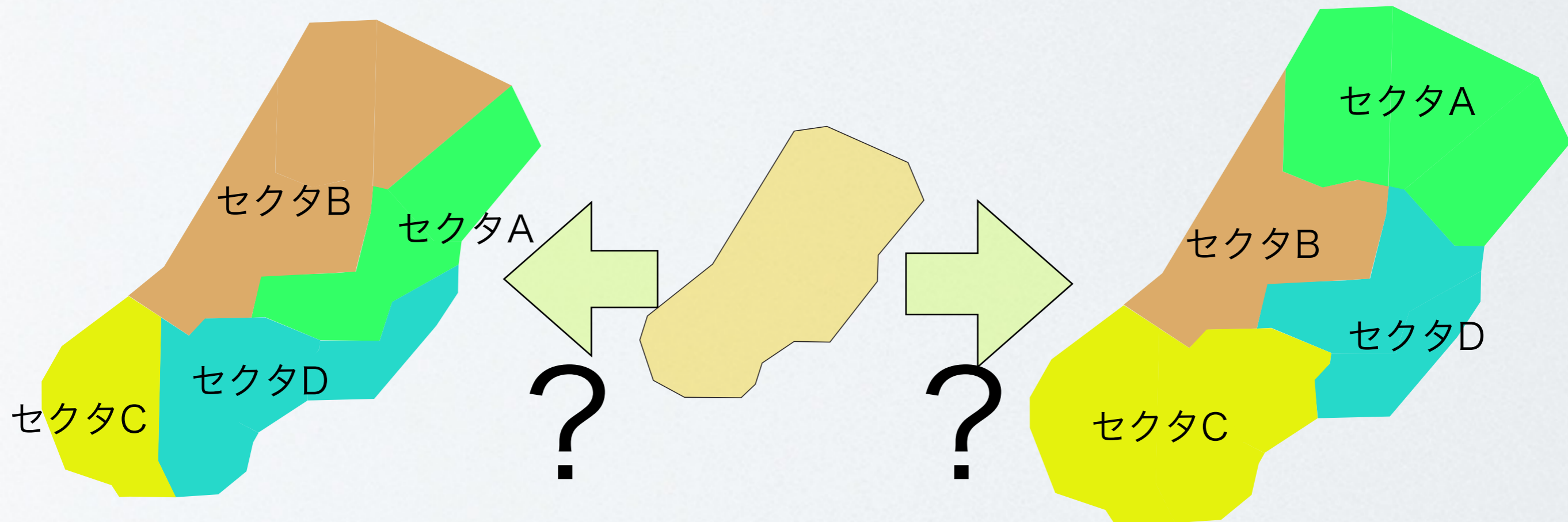
UPR経路の例



風向・風速の影響で変動

- 交通流（経路構成）の交差頻度／取り扱い数の増減
- 管制作業量：交通流に依存
 - セクタ間での管制作業量のばらつきが増大
- 効率的運航支援：経路構成に応じたセクタ境界線設定

空域編成問題 (本研究での定義)



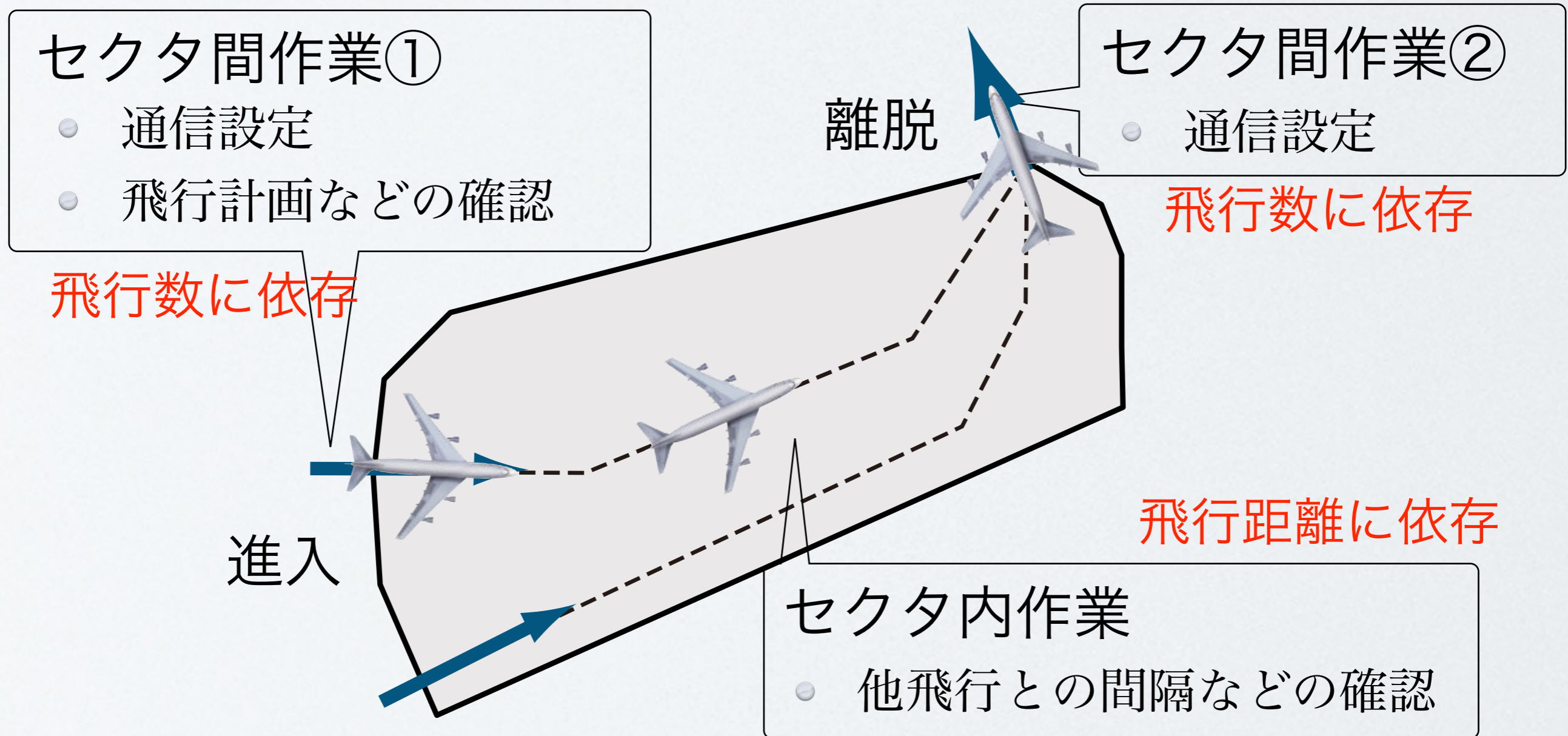
(入力) 計画経路 (WPの列) の集合

(出力) セクタ数とセクタ境界線

(条件) セクタとして満たすべき条件

各セクタでの管制作業量の平準化 → 最適化

管制作業量のモデル化



管制作業量 =

$$\text{セクタ内作業} + \lambda (\text{セクタ間作業①} + \text{セクタ間作業②})$$

数理最適化アプローチ

■最適化のターゲット：

管制作業量の平準化

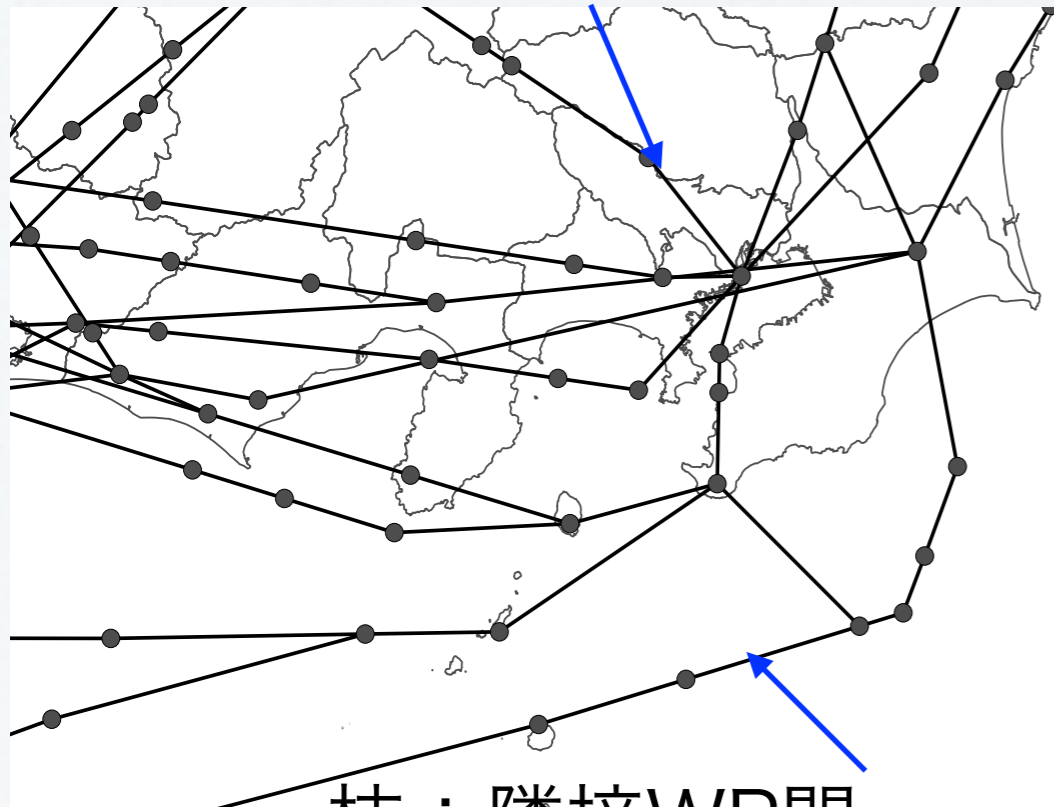
⇒ 航空機の飛行距離と機数の扱いがポイント

■求解のアプローチ：

	管制作業量最小化	管制作業量平準化
飛行距離	そのまま	機数で近似
機数	そのまま	そのまま
求解	ハード	比較的容易
意図	<ul style="list-style-type: none">管制作業量の和の最小化を、各セクタでの管制作業量の最小化で実現セクタ間での管制作業量のばらつきを上下限を設定して抑制	そのまま

計画経路のグラフによる表現

頂点：WP

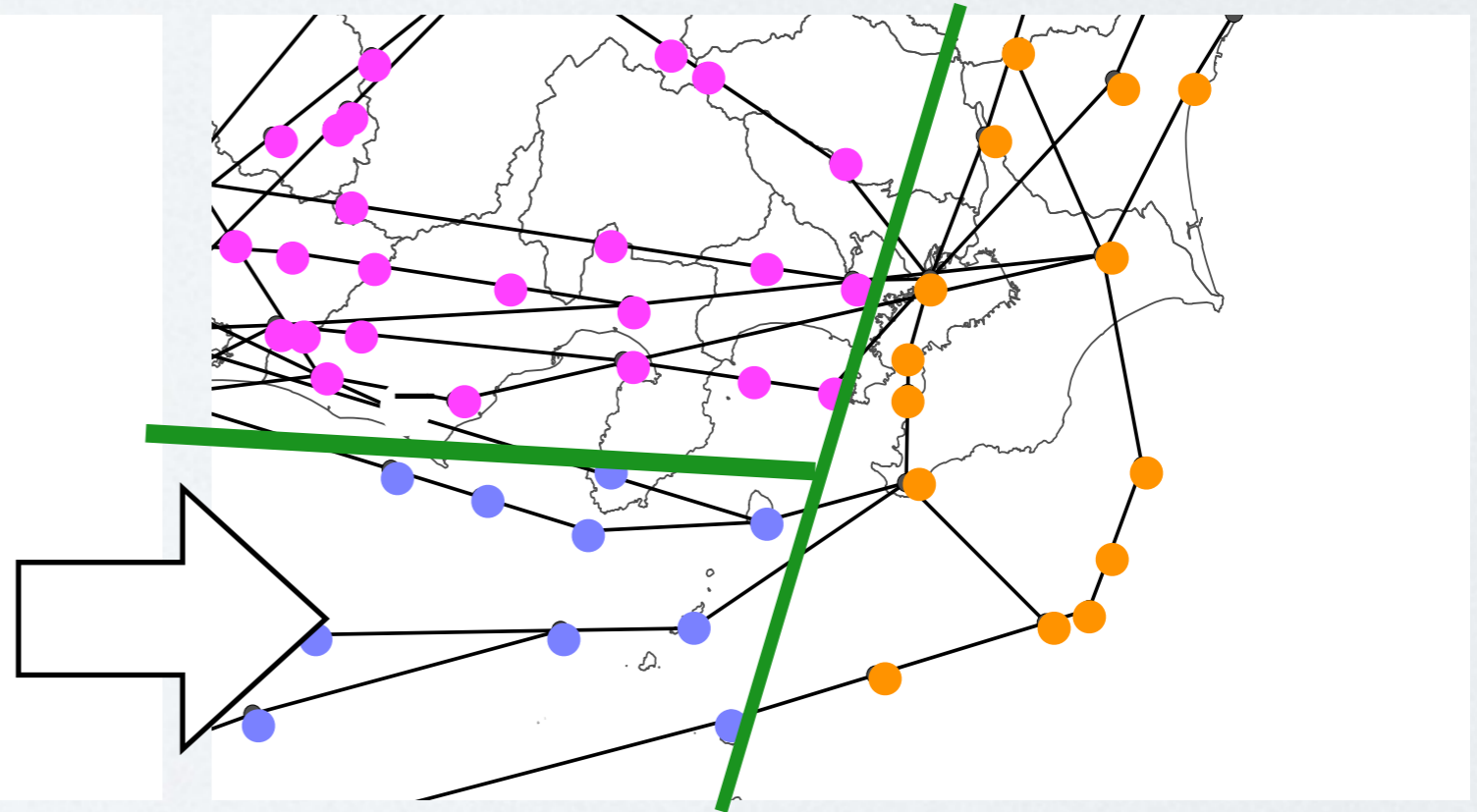


枝：隣接WP間

重み付きグラフ

$$G = (V, E)$$

(枝への重み付けなどにより
作業量の表現が可能)



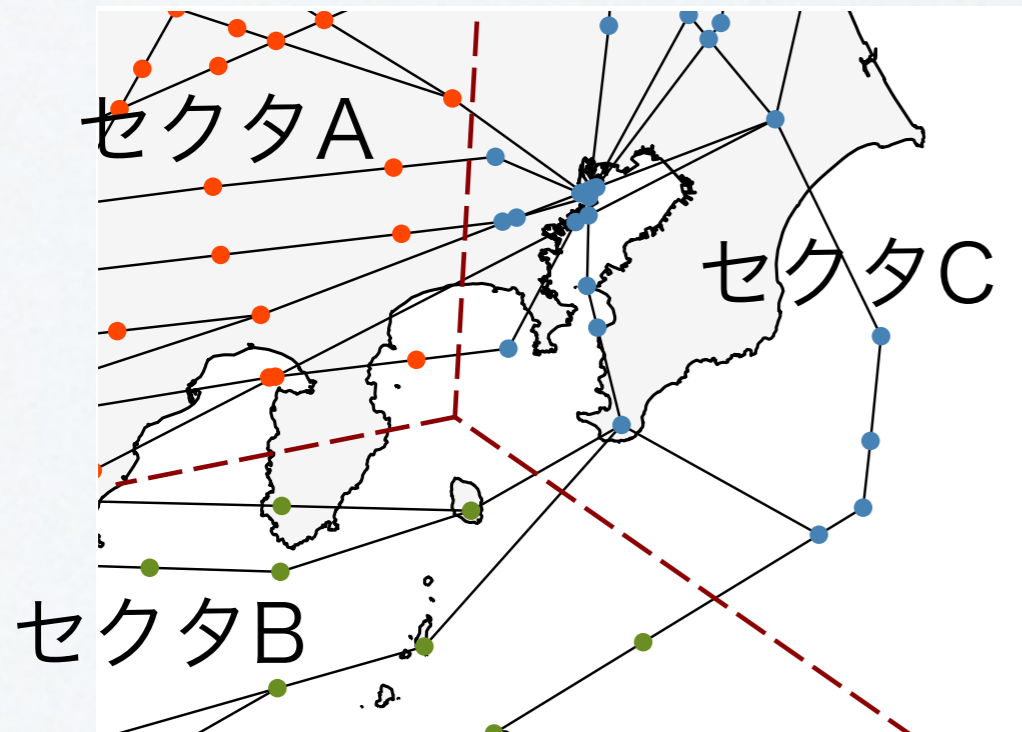
$$G_1, G_2, \dots, G_k$$

- 部分グラフへの分割
 - 各セクタに対応
 - 大まかな領域

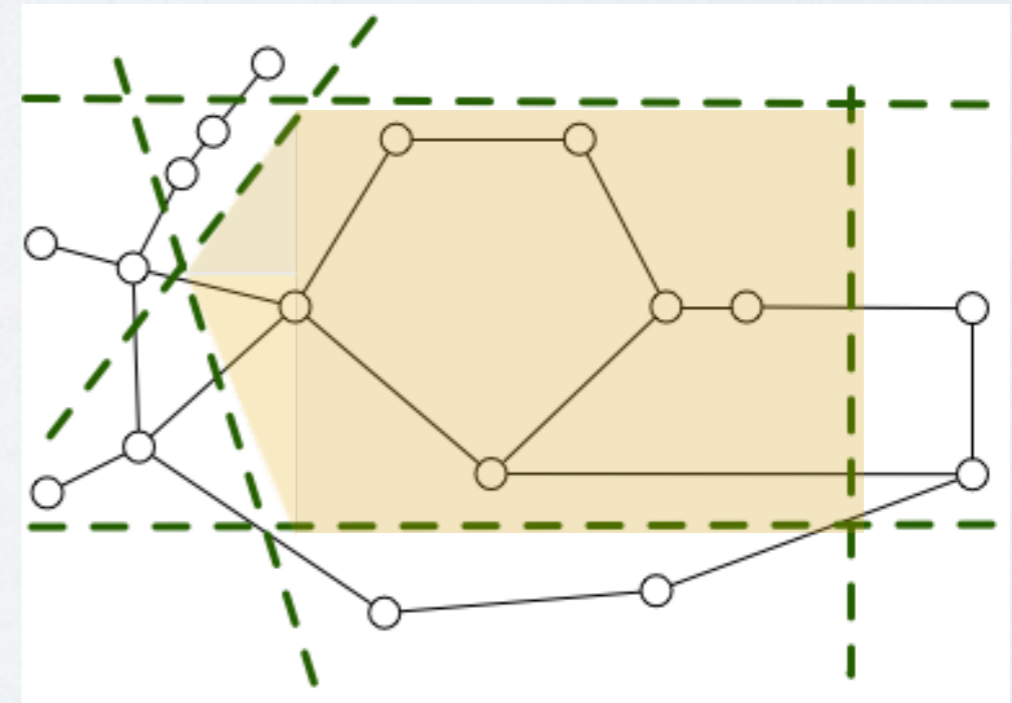
- 背景と目的
- 解法のフレームワーク
 - 管制作業量最小化
 - 管制作業量平準化
 - 可視化
- テストデータへの適用

管制作業量と最小化問題と列生成アプローチ

～解法構築のアイデア



計画経路とセクタの例



- 空域編成
 - WP全体をグループ分けすることで実現
 - セクタ
 - グループ内のWPが必ずつながっているもの
- ⇒ グラフの木構造を利用可能

管制作業量と最小化問題と列生成アプローチ

～アルゴリズム

列生成アルゴリズム

(限定フェーズ)

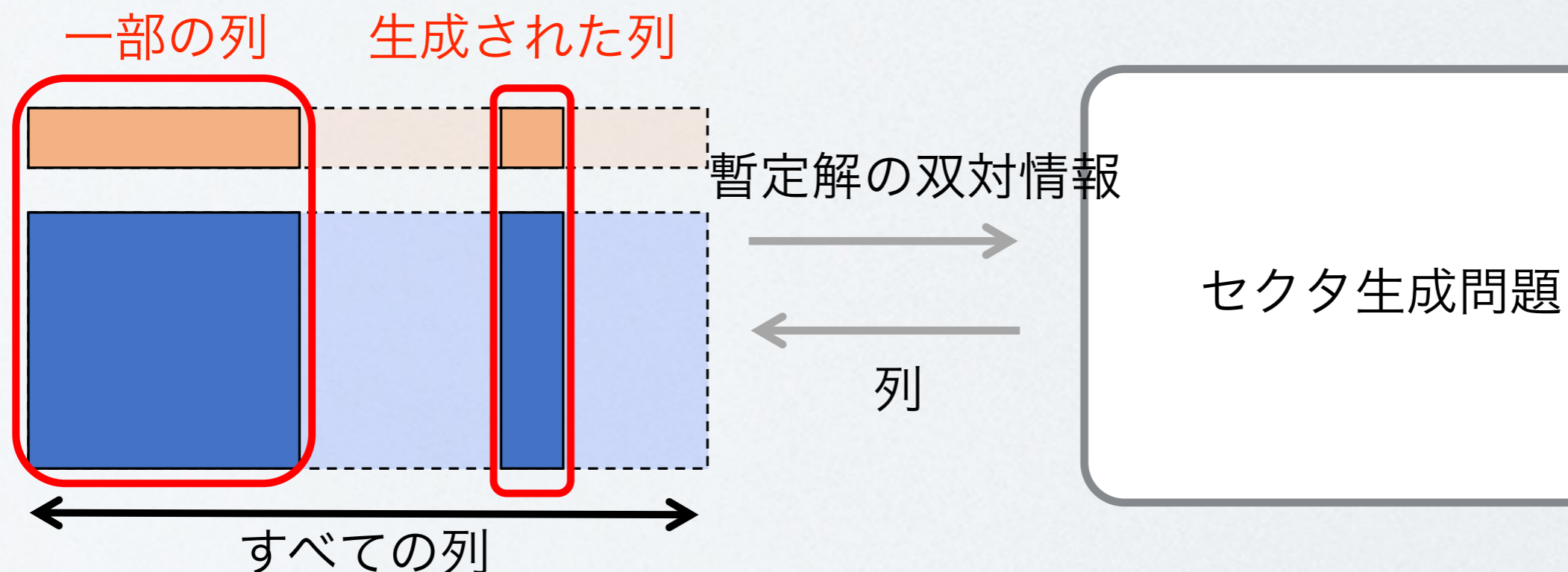
1. (すでに生成した) 一部の列だけに限定した部分問題を解き、暫定解を得る

(列生成フェーズ)

2. 必要に応じて列 (セクタの候補) を逐次生成する

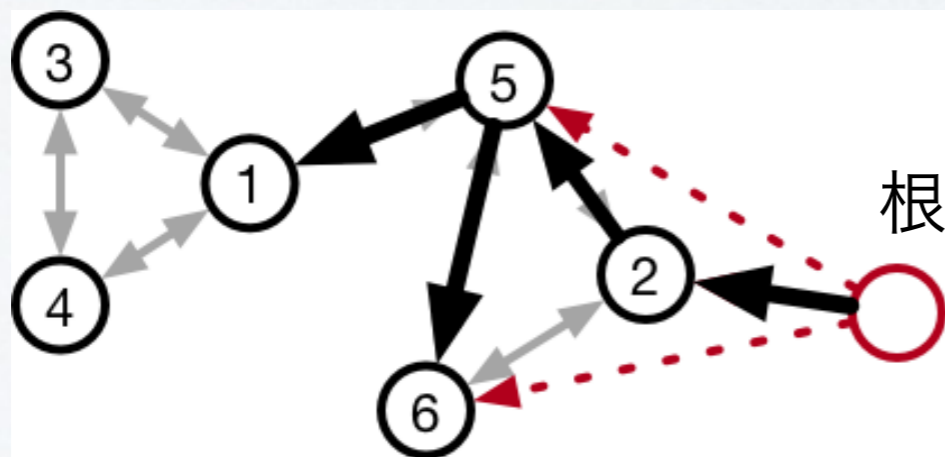
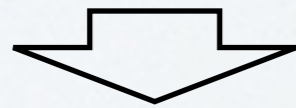
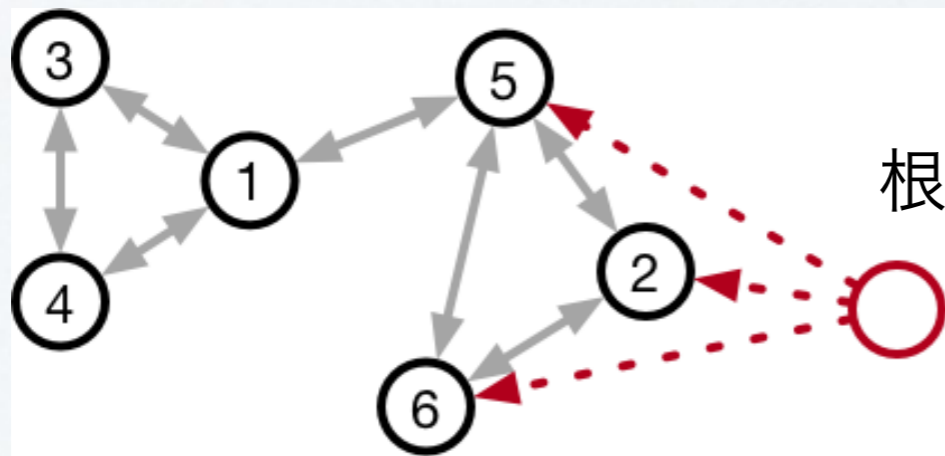
■追加すべき列が存在しないならば終了する

■有用な列が存在するならば、部分問題に追加し、1へ戻る



管制作業量と最小化問題と列生成アプローチ

～列生成



根付き有向木

セクタ（根付き有向木）生成問題

$$\min. \quad (1 - \theta) \sum_{(i,j) \in E} w_{ij}(1 - y_i)y_j + \theta \sum_{(i,j) \in E} w_{ij}d_{ij}z_{ij} - \sum_{i \in V} \lambda_i^* y_i$$

$$\text{sub. to} \quad \sum_{j \in \delta(0)} z_{0j} = 1,$$

$$\sum_{j \in \rho(i)} z_{ji} = y_i \quad \text{for } i \in V,$$

$$\sum_{j \in \delta(i)} z_{ij} \leq |V| \times y_i \quad \text{for } i \in V,$$

$$l_i + 1 \leq l_j + |V|(1 - z_{ij}) \quad \text{for } (i, j) \in E,$$

$$\sum_{(i,j) \in E} z_{ij} = \sum_{i \in V} y_i - 1,$$

$$y_i \in \{0, 1\} \quad \text{for } i \in V,$$

$$z_{ij} \in \{0, 1\} \quad \text{for } (i, j) \in \bar{E},$$

$$l_i \in \mathbb{R} \quad \text{for } i \in V.$$

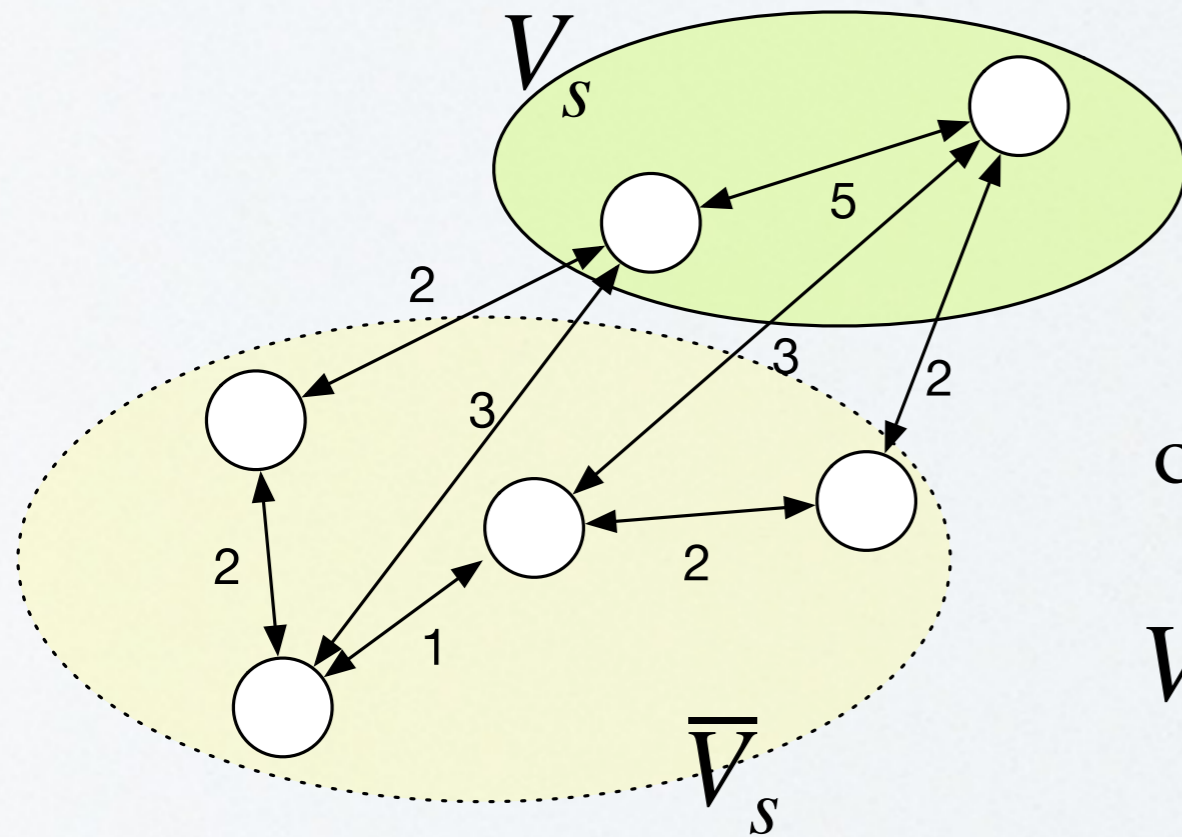
$$y_i = \begin{cases} 1 & \text{waypoint } i \text{ in the tree} \\ 0 & \text{otherwise} \end{cases}$$

$$z_{ij} = \begin{cases} 1 & \text{segment } (i, j) \text{ in the tree} \\ 0 & \text{otherwise} \end{cases}$$

- 背景と目的
- 解法のフレームワーク
 - 管制作業量最小化
 - 管制作業量平準化
 - 可視化
- テストデータへの適用

管制作業量の定式化①

セクタ間の作業量



$$\text{cut}(V_s, \bar{V}_s) = (2 + 3) + (3 + 2) = 10$$

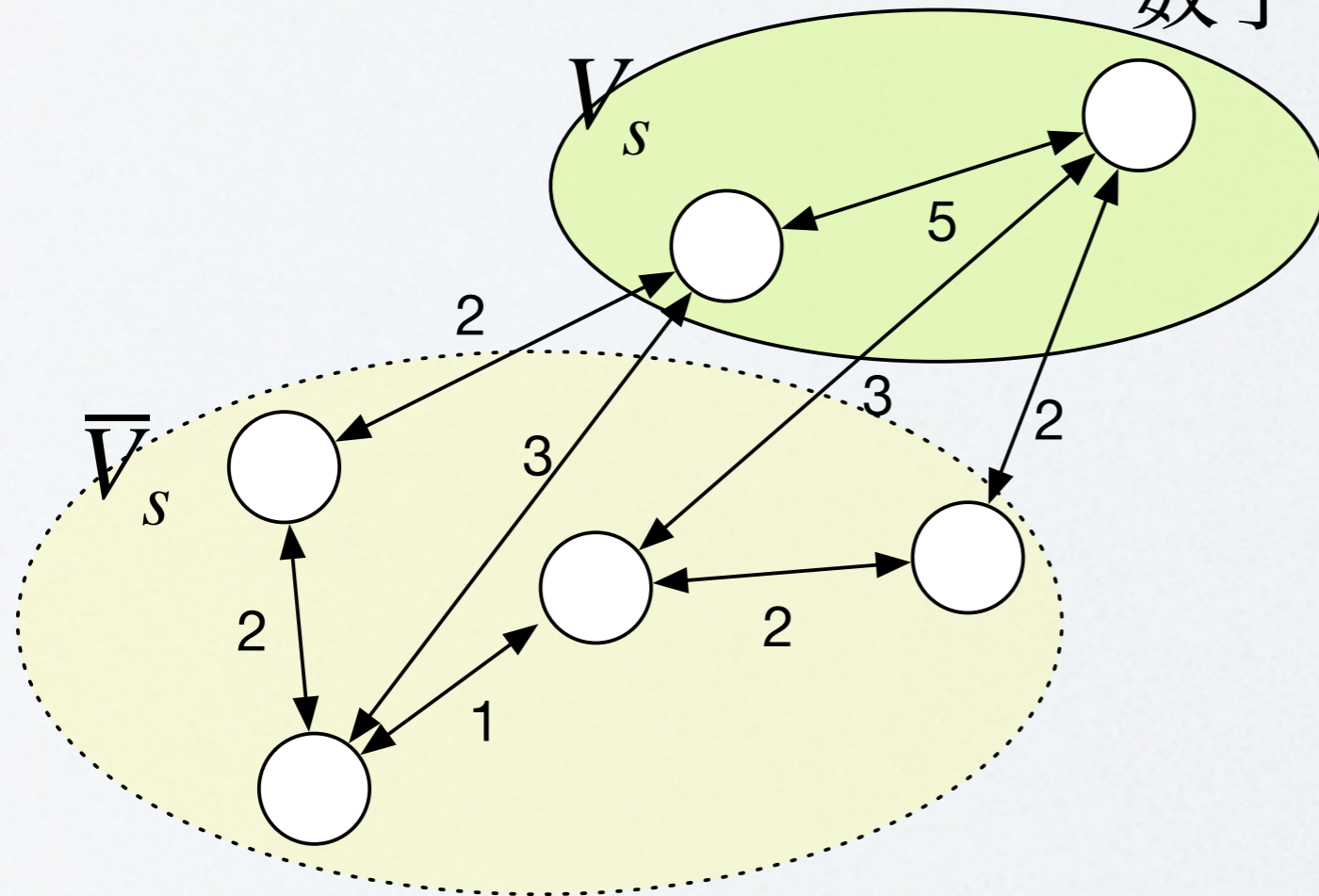
V_s に関するカット枝の重み和

数字は通過機数を表す

管制作業量の定式化②

セクタ内の作業量

数字は通過機数を表す



$$\text{vol}(V_s) = (2 + 3 + 5) + (5 + 3 + 2) = 20$$

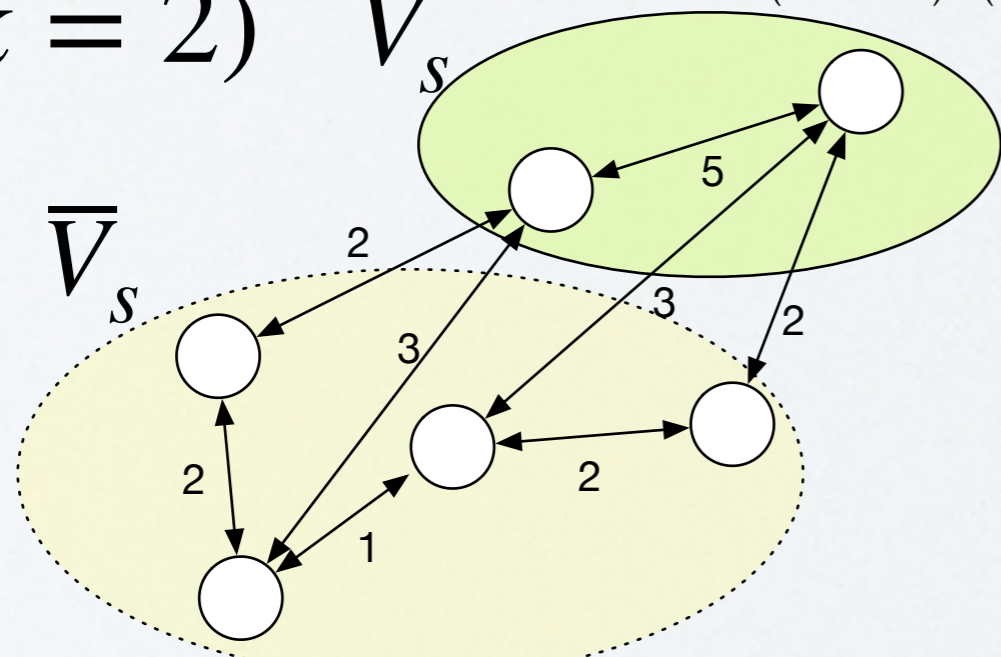
V_s に含まれる頂点の重みつき次数

Normalized-cutの定義

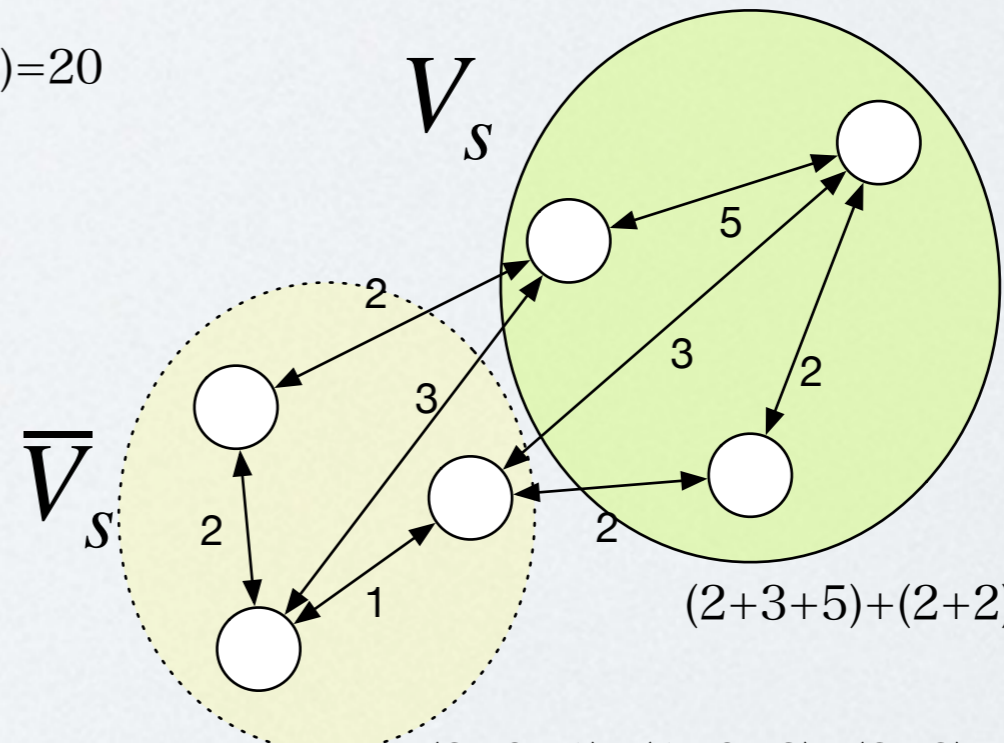
$$\sum_{s=1}^k \frac{\text{cut}(V_s, \bar{V}_s)}{\text{vol}(V_s)}$$

$\text{cut}(V_s, \bar{V}_s)$ ← V_s に関するカット枝の重み和
 $\text{vol}(V_s)$ ← V_s に含まれる頂点の重み付き次数の和

(k = 2) V_s (2+3+5)+(5+3+2)=20



$$(2+2)+(2+3)+(1+3+2)+(2+2)=19$$



$$(2+3+5)+(2+2)+(5+3+2)=24$$

$$(2+3+1)+(1+3+2)+(2+2)=16$$

$$\sum_{s=1}^k \frac{\text{cut}(V_s, \bar{V}_s)}{\text{vol}(V_s)} = \frac{10}{20} + \frac{10}{19} = 1.02$$

$$\sum_{s=1}^k \frac{\text{cut}(V_s, \bar{V}_s)}{\text{vol}(V_s)} = \frac{10}{24} + \frac{10}{16} = 1.12$$

算出の手順

- 評価関数Normalized-cutの最小化

- セクタ間作業量を小さく (分子)
- セクタ内作業量を平準化 (分母)

$$\sum_{s=1}^k \frac{\text{cut}(V_s, \overline{V}_s)}{\text{vol}(V_s)}$$

- スペクトル法の適用

- 1: ラプラシアン L に関する一般化固有値問題 $L\mathbf{u} = \lambda D\mathbf{u}$ を解き, 小さい方から k 個の固有値 λ_j と対応する固有ベクトル \mathbf{u}^j を求める. $\text{LB} \leftarrow \sum_{j=1}^k \lambda_j$.
- 2: **for** $i \in V$ **do**
- 3: $\mathbf{z}^i \leftarrow (u_i^1, u_i^2, \dots, u_i^k) \in \mathbb{R}^k$
- 4: データ $\{\mathbf{z}^1, \mathbf{z}^2, \dots, \mathbf{z}^n\}$ に対して k -means クラスタリングを実行し, 分割 $\{V_1, V_2, \dots, V_k\}$ を得る.
- 5: $\text{UB} \leftarrow \text{Ncut}(V_1, V_2, \dots, V_k)$ として LB と UB を出力する.

(Shi J., Malik J. 2000)

- 背景と目的
- 解法のフレームワーク
 - 管制作業量最小化
 - 管制作業量平準化
 - 可視化
- テストデータへの適用

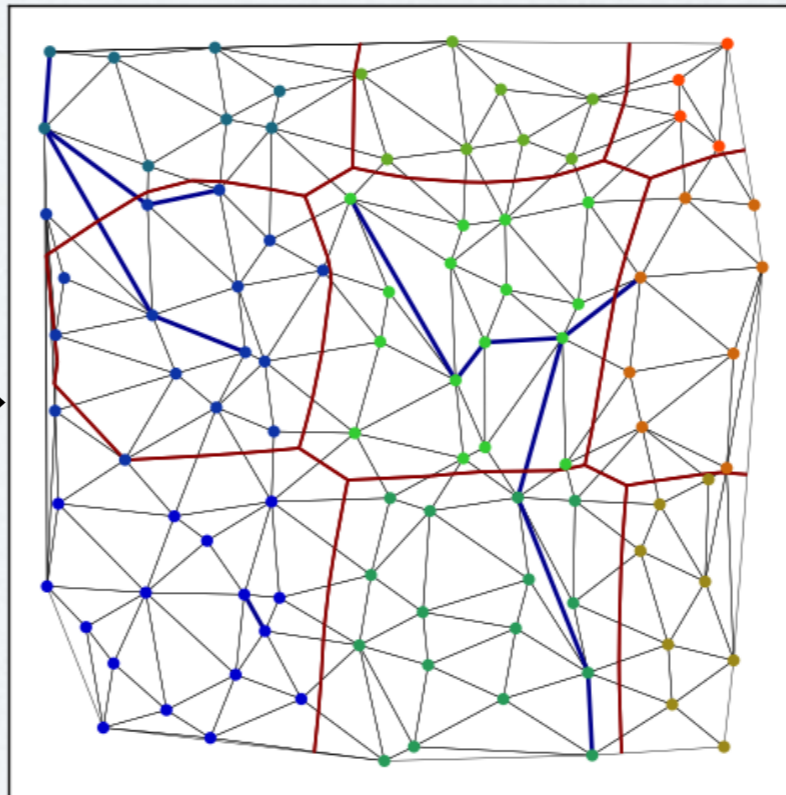
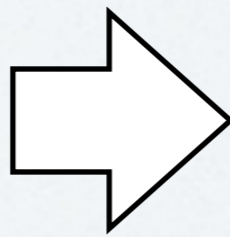
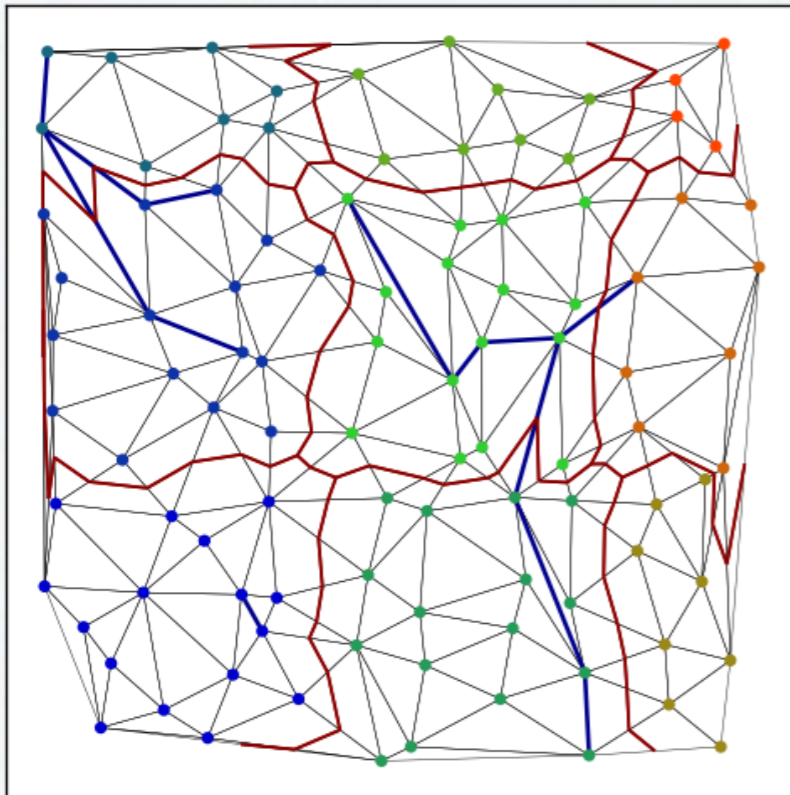
セクタ境界線の決定

- アルゴリズムの適用結果 = WP全体のグループ分け
- 各セクタ境界線の形状は未決定

➡ 境界線決定アルゴリズムの開発 (2段階)

初期分割 (制約付き三角形分

補正 (競合学習法)



- 凹凸の低減
- 凸に近い

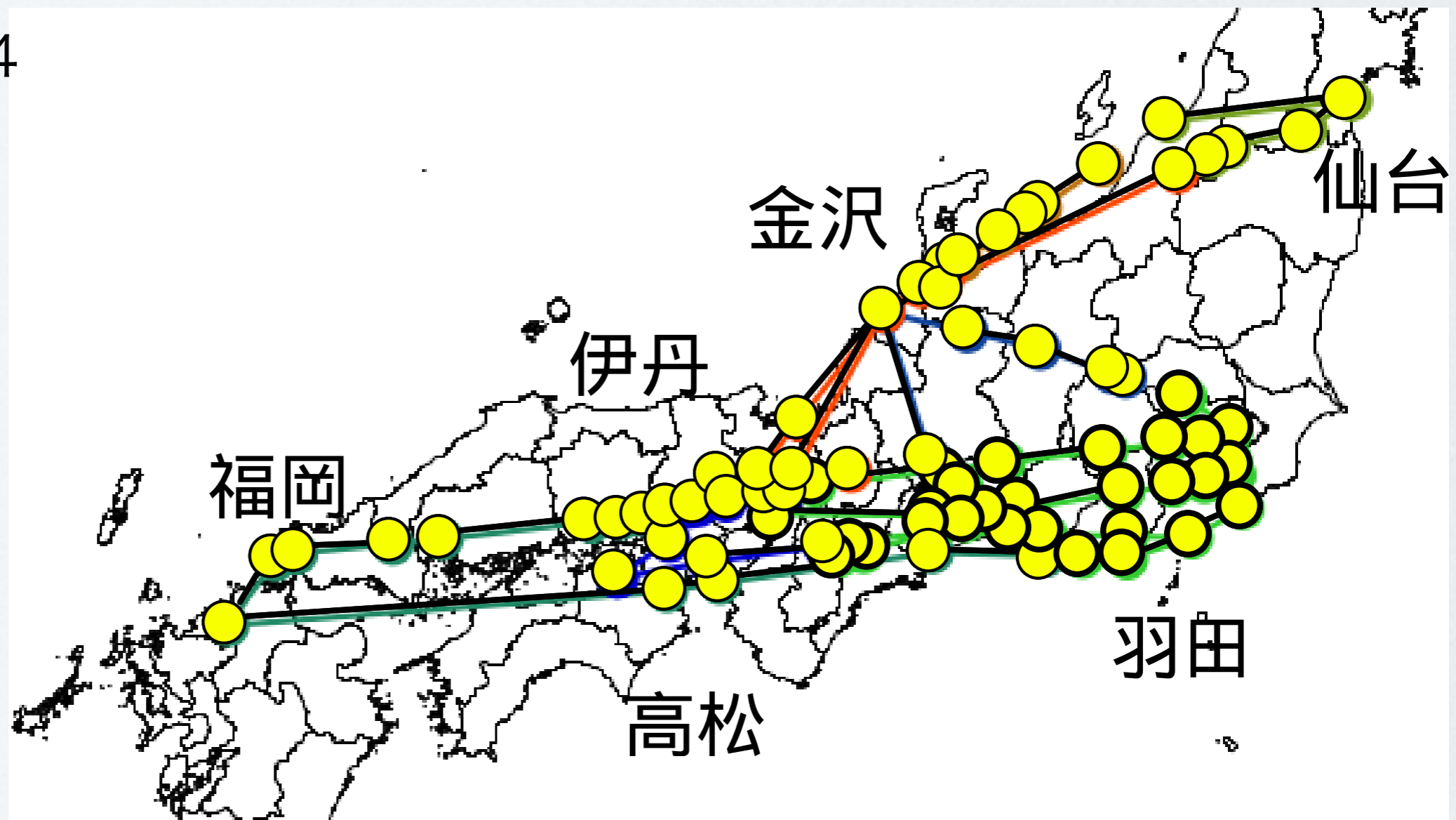
- 背景と目的
- 解法のフレームワーク
 - 管制作業量最小化
 - 管制作業量平準化
 - 可視化
- テストデータへの適用

テストデータの作成

- 便数が多い路線の選択
- 発着空港が適度に分散

部分的な空域モデル

- WP数：84
- 枝数：99



管制作業量と最小化の結果

(実装) Python3.6.3, Gurobi Optimizer 8.0.1 (最適化)



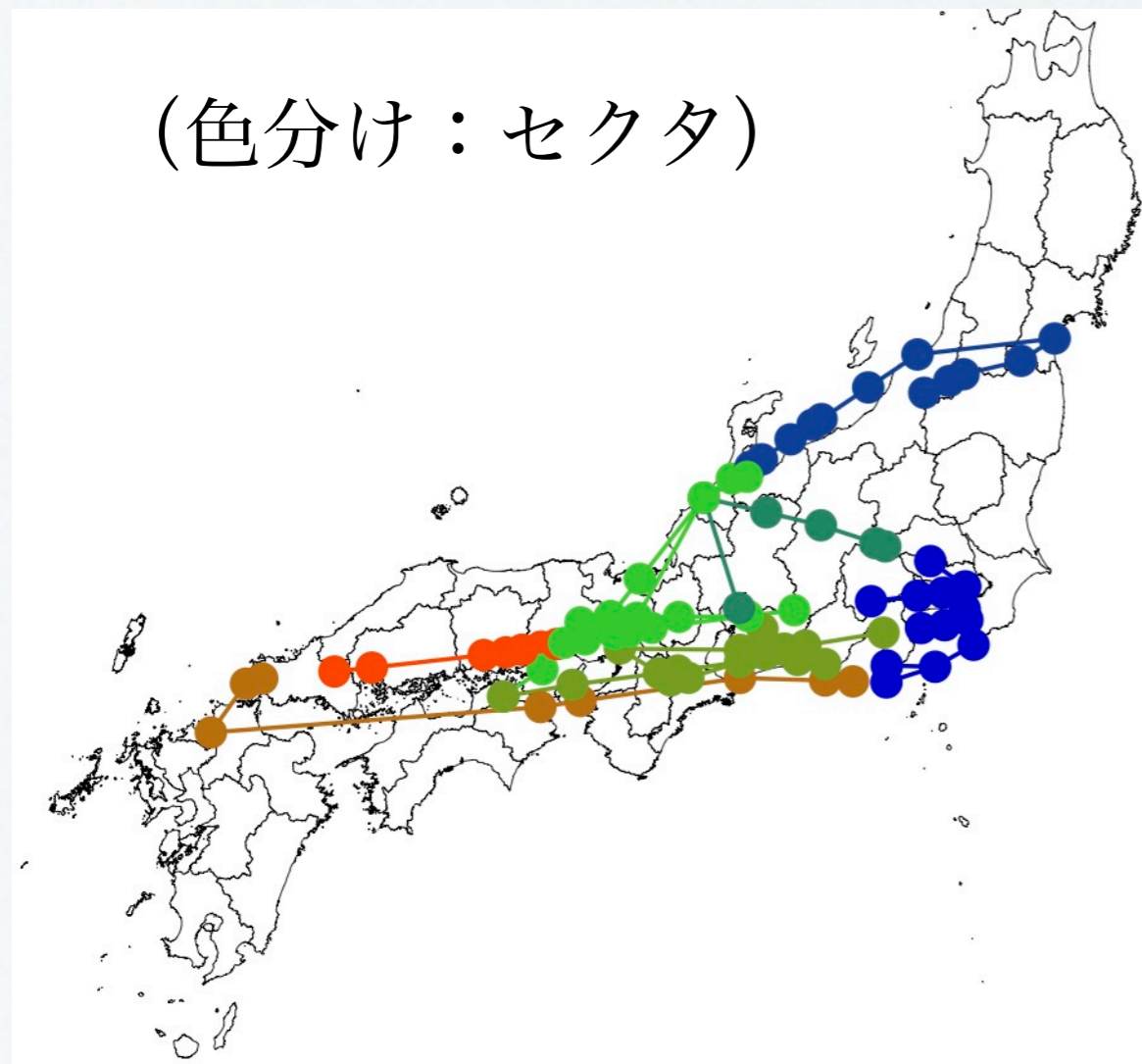
セクタ番号	WP数	作業量
#1	5	1.91
#2	3	2.05
#3	3	1.00
#4	5	1.76
#5	15	1.40
#6	40	4.15
#7	13	2.41

作業量：最大作業量との比

- 作業量のばらつき：最大で4倍程度

管制作業量平準化の結果

(実装) Python3.6.3, SciPy (線形計算) + scikit-learn (k-means)



セクタ番号	WP数	作業量
#1	19	1.38
#2	19	2.00
#3	12	1.00
#4	12	1.63
#5	6	2.13
#6	8	1.63
#7	8	1.63

作業量：最大作業量との比

- 作業量のばらつき：最大で2倍程度

おわりに

空域編成に対する2つの最適化アプローチ

- モデル化と解法の提案
- 解法の実装
 - テストデータへの適用

今後の課題

- 我が国全体の空域モデルへの適用



35
FLIGHT CATERING
TFK

JAPAN AIRLINES

JAPAN AIRLINES
JAL

Tokyo International Airport